

Aplikace teorie neuronových sítí

Doc. RNDr. Iveta Mrázová, CSc.

Katedra teoretické informatiky

Matematicko-fyzikální fakulta

Univerzity Karlovy v Praze

Aplikace teorie neuronových sítí

- modely založené na samoorganizaci -

Doc. RNDr. Iveta Mrázová, CSc.

Katedra teoretické informatiky

Matematicko-fyzikální fakulta

Univerzity Karlovy v Praze

Učení bez učitele

◆ Učení bez učitele:

- Samoorganizace a shlukování

◆ Motivace:

- Síť sama rozhodne, která odezva je pro daný vzor nejlepší a podle toho nastaví své váhy

◆ Problém:

- Určit počet a rozložení shluků v příznakovém prostoru

Učení bez učitele (2)

Kompetiční učení:

- ◆ Boj o „právo reprezentovat předložený vzor“
- ◆ „Potlačování soupeřů“ → **INHIBICE**
- ◆ Pravidlo „vítěz bere vše“
(WTA – Winner_takes_all)

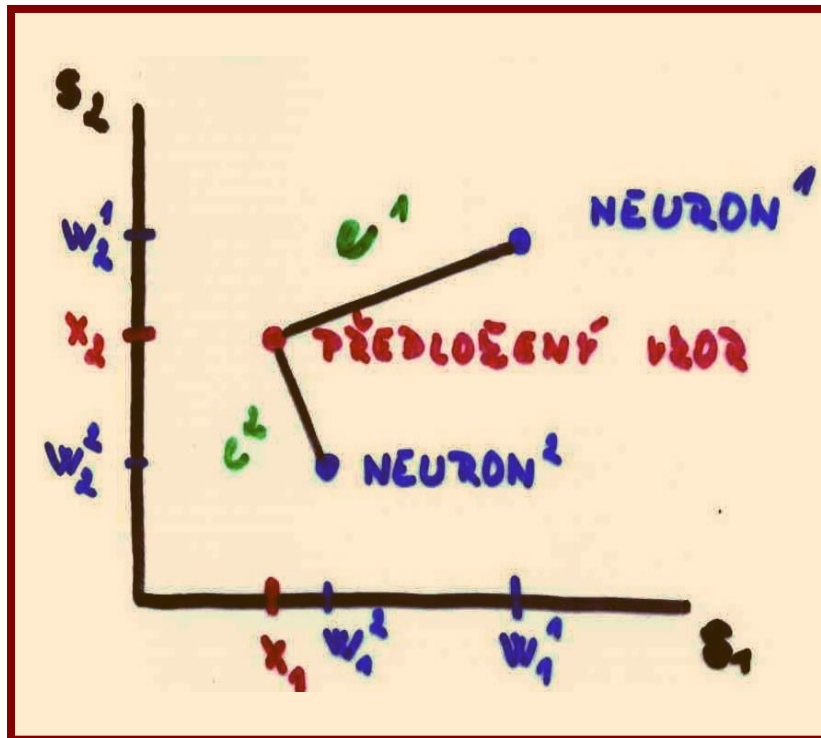
Posilované učení (reinforcement):

- ◆ Důraz na co nejlepší reprodukci vstupů

Kompetiční učení bez učitele

- ◆ n – rozměrný vstupní vzor je zpracováván pomocí takového počtu neuronů, který odpovídá (předpokládanému) počtu shluků
- ◆ Neurony v tomto případě počítají (Euklidovskou) **vzdálenost mezi předloženým vzorem a svým váhovým vektorem**

Kompetiční učení bez učitele (2)



- ◆ V kompetici „vítězí“ neuron, který ke nejblíže předloženému vzoru
- ◆ Vítězný neuron bude nejaktivnější a bude potlačovat – **inhibovat** – aktivitu ostatních neuronů

Kompetiční učení bez učitele (2a)

- ◆ Inhibice pomocí „laterálních spojů“
==> **laterální inhibice**
- ◆ Pro rozhodnutí, zda bude neuron aktivní nebo ne, je nutná globální informace o stavu všech neuronů v síti
- ◆ Aktivita neuronu signalizuje příslušnost předloženého vstupu ke shluku vektorů reprezentovaných tímto neuronem

Kompetiční učení bez učitele (3)

- ◆ Vítězný neuron zadaptuje své váhy směrem k předloženému vzoru:

$$\Delta \vec{w} = \alpha \cdot (\vec{x} - \vec{w})$$

plasticita sítě (během učení pomalu klesá)

Cíl:

- ◆ Umístit neurony do středu shluků vzorů
- ◆ Zachovat již vytvořenou strukturu sítě

Kompetiční učení bez učitele (4)

◆ Urychlení procesu učení:

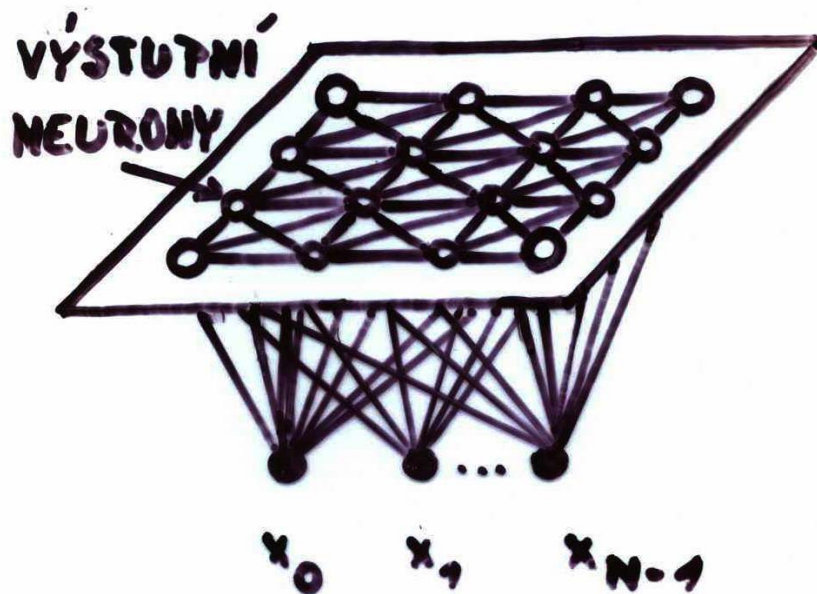
- Vhodná inicializace vah
- Např. podle náhodně vybraných vzorů

◆ Problémy:

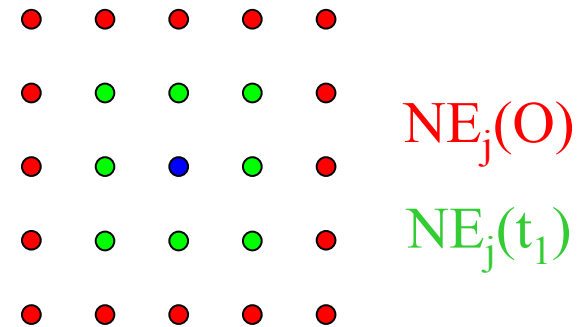
- **Mrtvé (nevyužité) neurony**
 - Mřížka v Kohonenově vrstvě
 - Topologické okolí neuronu
 - Řízená kompetice a mechanismus svědomí

Kohonenovy mapy

- ◆ Teuvo Kohonen – fonetický psací stroj



Topologické okolí



Kohonenův model – algoritmus učení

Motivace:

- ◆ Mřížka, na níž jsou uspořádané neurony, umožňuje identifikaci nejbližších sousedů daného neuronu
 - v průběhu učení se aktualizují váhy příslušných neuronů i jejich sousedů

Cíl: sousední neurony by měly také reagovat na velmi podobné signály

Kohonenův model – algoritmus učení (5)

Definice okolí:

- ◆ V jednorozměrné Kohonenově mapě patří do okolí neuronu k s poloměrem 1 neurony $k - 1$ a $k + 1$
- ◆ Neurony na obou koncích jednorozměrné Kohonenovy mapy mají asymetrické okolí
- ◆ V 1 – rozměrné Kohonenově mapě patří do okolí neuronu k o poloměru r všechny neurony, které jsou od k vzdáleny až o r pozic doleva či doprava
- ◆ Obdobně pro vícerozměrné Kohonenovy mapy a zvolenou metriku na mřížce (čtvercová, hexagonální, ...)

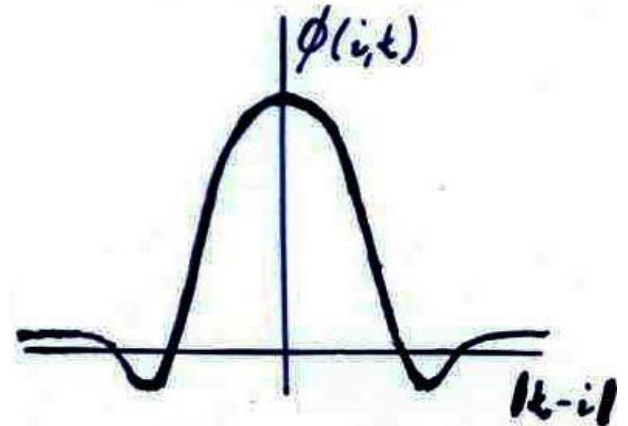
Kohonenův model – algoritmus učení (6)

Funkce laterální interakce $\Phi(i,k)$:

~ „síla laterální vazby“ mezi neurony i a k během učení

Příklad:

- ◆ $\Phi(i,k)=1 \quad \forall i$ z okolí k s poloměrem r a $\Phi(i,k)=0$
 \forall ostatní i
- ◆ Funkce „mexického klobouku“
- ◆ ... a další ...



Kohonenovy samoorganizující se příznakové mapy: algoritmus

Krok 1: Zvol hodnoty vah mezi N vstupními a M výstupními neurony jako malé náhodné hodnoty. Zvol počáteční poloměr okolí a funkci laterální interakce Φ .

Krok 2: Předlož nový trénovací vzor.

Krok 3: Spočítej vzdálenosti d_j mezi vstupním a váhovým vektorem pro každý výstupní neuron j pomocí:

$$d_j = \sum_{i=0}^{N-1} (x_i(t) - w_{ij}(t))^2$$

Kde $x_i(t)$ je vstupem neuronu i v čase t a $w_{ij}(t)$ je váhou synapse ze vstupního neuronu i k výstupnímu neuronu j v čase t . Tuto vzdálenost lze upravit váhovým koeficientem a předat competiční vrstvě.

Kohonenovy samoorganizující se příznakové mapy: algoritmus (2)

Krok 4: Vyber (např. pomocí laterální interakce) takový výstupní neuron c , který má minimální d_j a označ ho jako „vítěze“.

Krok 5: Váhy se aktualizují pro neuron c a všechny neurony v okolí definovaném pomocí N_c . Nové váhy jsou:

$$w_{ij}(t+1) = w_{ij}(t) + \alpha(t) \Phi(c,j) (x_i(t) - w_{ij}(t))$$

Pro $j \in N_c$; $0 \leq i \leq N-1$

$\alpha(t)$ je vigilanční koeficient ($0 < \alpha(t) < 1$), který klesá v čase (vigilance ~ bdělost).

Kohonenovy samoorganizující se příznakové mapy: algoritmus (3)

Pro volbu $\alpha(t)$ by mělo platit:

$$\sum_{t=1}^{\infty} \alpha(t) = \infty \quad \wedge \quad \sum_{t=1}^{\infty} \alpha^2(t) < \infty$$

Při procesu učení tak vítězný neuron upraví svůj váhový vektor směrem k aktuálnímu vstupnímu vektoru.

Totéž platí pro neurony v okolí „vítěze“.

Hodnota funkce $\Phi(\mathbf{c}, \mathbf{j})$ klesá s rostoucí vzdáleností neuronů od středu okolí N_c .

Krok 6: Přejdi ke Kroku 2.

Kompetiční AVQ-algoritmy (Adaptive Vector Quantization)

Krok 1: inicializujte vektory synaptických vah:

$$\vec{m}_i(0) = \vec{x}_i ; \quad i = 1, \dots, p$$

- inicializace pomocí trénovacích vzorů omezuje výskyt patologických jevů při učení založeném na algoritmu NNR

Krok 2: pro náhodný trénovací vzor $\vec{x}(t)$ najdi nejbližší „vítězný“ vektor synaptických vah $\vec{m}_j(t)$

$$\|\vec{m}_j(t) - \vec{x}(t)\| = \min_i \|\vec{m}_i(t) - \vec{x}(t)\|$$

kde $\|\vec{x}\|^2 = x_1^2 + \dots + x_n^2$

Krok 3: aktualizujte vektor „vítězných“ synaptických vah $\vec{m}_j(t)$ pomocí algoritmů UCL, SCL1 anebo SCL2

Kompetiční AVQ-algoritmy (Adaptive Vector Quantization) (2)

Kompetiční učení bez učitele – UCL:

~ unsupervised competitive learning

$$\vec{m}_j(t+1) = \vec{m}_j(t) + c_t [\vec{x}(t) - \vec{m}_j(t)]$$

$$\vec{m}_i(t+1) = \vec{m}_i(t) \quad \text{jestliže} \quad i \neq j$$

Parametr učení:

$\{c_t\}$... je pomalu klesající posloupnost parametrů učení,
např. $c_t = 0.1(1 - t/2000)$, resp. $c_t = 1/t$

Konvergence k lokálnímu minimu:

$$\sum_{t=1}^{\infty} c_t = \infty \qquad \sum_{t=1}^{\infty} c_t^2 < \infty$$

Kompetiční AVQ-algoritmy (Adaptive Vector Quantization) (3)

Kompetiční učení s učitelem 1 – SCL1:

~ supervised competitive learning 1

$$\vec{m}_j(t+1) = \begin{cases} \vec{m}_j(t) + c_t [\vec{x}(t) - \vec{m}_j(t)] & \text{jestliže } \vec{x}(t) \in D_j \\ \vec{m}_j(t) - c_t [\vec{x}(t) - \vec{m}_j(t)] & \text{jestliže } \vec{x}(t) \notin D_j \end{cases}$$

$$\vec{m}_i(t+1) = \vec{m}_i(t) \quad \text{jestliže } i \neq j$$

Jiný zápis: $\vec{m}_j(t+1) = \vec{m}_j(t) + c_t r_j [\vec{x}(t) - \vec{m}_j(t)]$

Posilovací funkce pro učení s učitelem: $r_j = I_{D_j} - \sum_{i \neq j} I_{D_i}$

Kompetiční AVQ-algoritmy (Adaptive Vector Quantization) (4)

Kompetiční učení s učitelem 2 – SCL2:

~ supervised competitive learning 2

$$\begin{cases} \vec{m}_j(t+1) = \vec{m}_j(t) - c_t [\vec{x}(t) - \vec{m}_j(t)] \\ \vec{m}_l(t+1) = \vec{m}_l(t) + c_t [\vec{x}(t) - \vec{m}_l(t)] \end{cases}$$

jestliže $\vec{x} \in D_l$ namísto $\vec{x} \in D_j$ a jestliže je $\vec{m}_j(t)$ nejbližší vektor synaptických vah a $\vec{m}_l(t)$ je další nejbližší vektor synaptických vah:

$$\| \vec{m}_j(t) - \vec{x}(t) \| < \| \vec{m}_l(t) - \vec{x}(t) \| = \min_{i \neq j} \| \vec{m}_i(t) - \vec{x}(t) \|^2$$

$$\vec{m}_i(t+1) = \vec{m}_i(t) \quad \text{pro všechny ostatní případy}$$

Kompetiční AVQ-algoritmy (Adaptive Vector Quantization) (5)

Diferenciální kompetiční učení – DCL:

~ differential competitive learning

- ◆ **Kombinace diferenciálního Hebbovského a kompetičního učení:**

$$m'_{ij} = S'_j(y_j) [S_i(x_i) - m_{ij}]$$
$$\left(\vec{m}'_j = S'_j(y_j) [\vec{S}(\vec{x}) - \vec{m}_j] \right)$$

kde $\vec{S}(\vec{x}) = (S_1(x_1), \dots, S_n(x_n))$ a $\vec{m}_j = (m_{1j}, \dots, m_{nj})$

m_{ij} označuje váhu synapse mezi i – tím neuronem vstupní vrstvy F_X a j – tím neuronem kompetiční vrstvy F_Y

S_i, S_j jsou nezáporné přenosové funkce

Kompetiční AVQ-algoritmy (Adaptive Vector Quantization) (6)

Diferenciální kompetiční učení – DCL (pokračování):

m'_{ij} a $S'_j(y_j)$ označují derivace m_{ij} a $S_j(y_j)$ v čase,

obvykle:
$$S_j(y_j) = \frac{1}{1 + e^{-cy_j}}$$

pro nějakou konstantu $c > 0$

- ♦ j – tý neuron „vítězí“ v kompetici, jestliže $S_j = 1$,
a prohrává, jestliže $S_j = 0$

Kompetiční AVQ-algoritmy (Adaptive Vector Quantization) (7)

Diferenciální kompetiční učení – DCL (pokračování):

→ \vec{m}_j se adaptuje pouze v případě, že se hodnota $S_j(y_j)$ mění

→ rozdíl proti klasickému kompetičnímu učení:

$$m'_{ij} = S_j(y_j) [S_i(x_i) - m_{ij}]$$

→ \vec{m}_j se adaptuje v případě, že j -tý neuron „vyhrál“ kompetici

Kompetiční AVQ-algoritmy (Adaptive Vector Quantization) (8)

Diferenciální kompetiční učení – DCL:

Krok 1: Inicializace: $\vec{m}_i(0) = \vec{x}(i)$

Krok 2: Najdi „vítězný“ $\vec{m}_j(t)$:
$$\| \vec{m}_j(t) - \vec{x}(t) \| = \min_i \| \vec{m}_i(t) - \vec{x}(t) \|^2$$

Krok 3: Aktualizace „vítězného“ $\vec{m}_j(t)$:

$$\vec{m}'_j(t+1) = \vec{m}'_j(t) + c_t \Delta S_j(y_j(t)) [S(\vec{x}(t)) - \vec{m}_j(t)]$$

jestliže j -tý neuron „vítězí“

$$\vec{m}_i(t+1) = \vec{m}_i(t) \quad \text{jestliže } i\text{-tý neuron „prohrává“}$$

Kompetiční AVQ-algoritmy (Adaptive Vector Quantization) (9)

Diferenciální kompetiční učení – DCL (pokračování):

- ♦ $\Delta S_j(y_j(t))$ představuje změnu kompetičního signálu $S_j(y_j)$ j -tého neuronu z kompetiční vrstvy:

$$\Delta S_j(y_j(t)) = \text{sgn} [S_j(y_j(t+1)) - S_j(y_j(t))]$$

- ♦ Operátor signum definujeme následovně:

$$\text{sgn}(x) = \begin{cases} 1 & \text{jestliže } x > 0 \\ 0 & \text{jestliže } x = 0 \\ -1 & \text{jestliže } x < 0 \end{cases}$$

- ♦ Aditivní aktualizace y_j ve vrstvě F_Y :

$$y_j(t+1) = y_j(t) + \sum_i^n S_i(x_i(t)) m_{ij}(t) + \sum_k^p S_k(y_k(t)) w_{kj}$$

Kompetiční AVQ-algoritmy (Adaptive Vector Quantization) (10)

Diferenciální kompetiční učení – DCL (zjednodušení):

- ◆ $S_i(x_i(t)) = x_i \rightarrow \sum_i^n x_i m_{ij}(t)$
- ◆ Jeden „vítěz“ v každé iteraci $\rightarrow y_k w_{kj}$, k značí „vítězný“ neuron

- Matice $W (p \times p)$:

$$W = \begin{bmatrix} +2 & -1 & \dots & -1 \\ -1 & +2 & \ddots & \vdots \\ \vdots & \ddots & \ddots & -1 \\ -1 & \dots & -1 & +2 \end{bmatrix}$$

- ◆ Každý neuron v F_Y kóduje jistou třídu vzorů

$$\rightarrow S(\vec{x}) \cdot \vec{m}_j = \|S(\vec{x})\| \|\vec{m}_j\| \cos(S(\vec{x}), \vec{m}_j)$$

Pozitivní učení ($m'_{ij} > 0$) nastává v případě, že systém klasifikuje do nejbližší třídy D_j

Kompetiční AVQ-algoritmy (Adaptive Vector Quantization) (11)

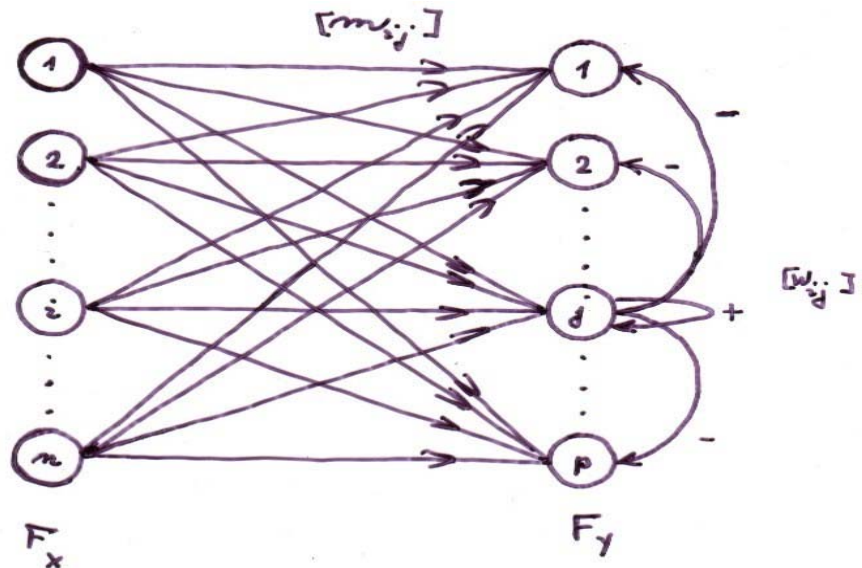
Diferenciální kompetiční učení – DCL (zjednodušení):

- ◆ Lineární data dávají často velké hodnoty pro $\left| \sum_i^n x_i m_{ij}(t) \right|$:
to způsobuje saturaci signálů S_j
 - $\Delta S_j = 0$ ~ při kompetici nejsou patrné žádné změny
 - X** Δy_j ~ zůstává citlivost vůči změnám při kompetici)

Kompetiční AVQ-algoritmy (Adaptive Vector Quantization) (12)

Diferenciální kompetiční učení – DCL (zjednodušení):

Topologie sítě DCL:



- ◆ Učení bez učitele
- ◆ Konvergence (rychlejší než SCL)
- ◆ Procházení centroidů

Segmentace hloubkových map

Povrchový model:

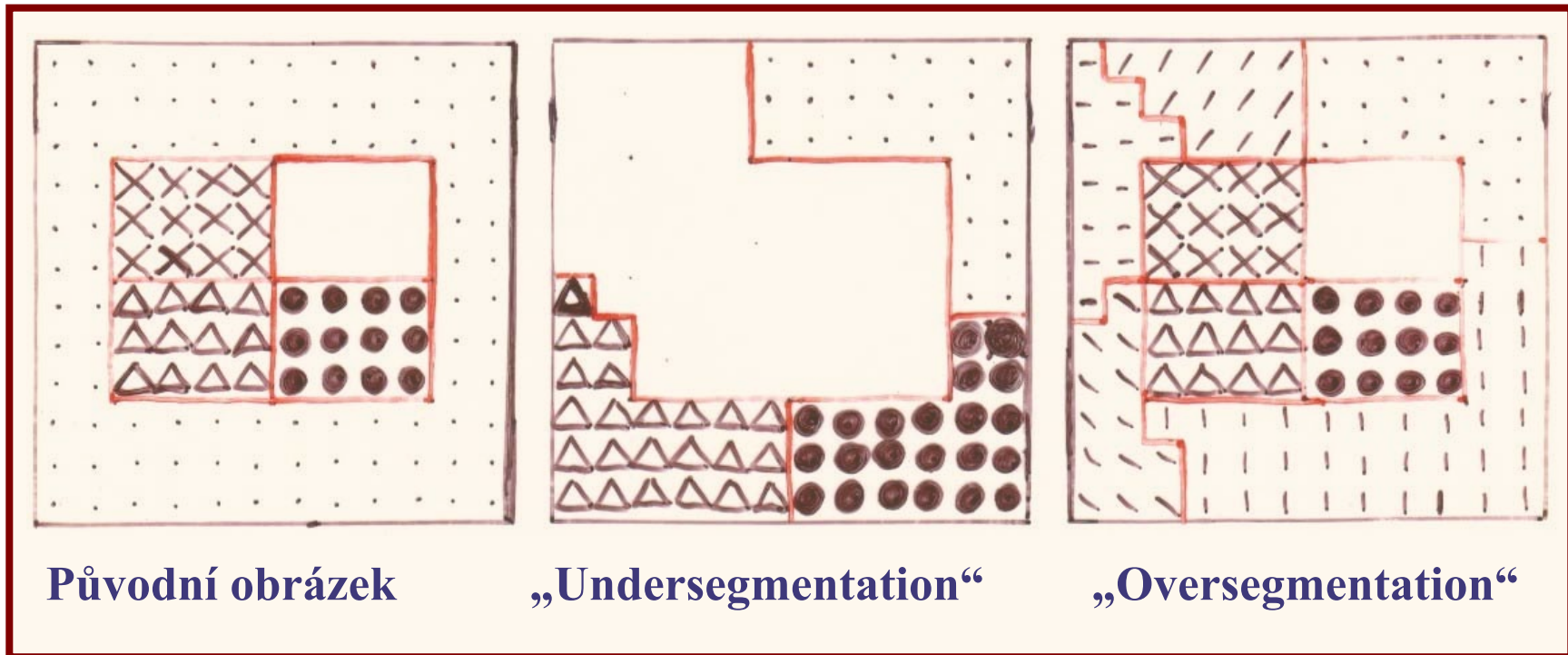
- ◆ reprezentuje povrch objektu pomocí grafu, který vyjadřuje sousednost ploch na povrchu objektu

- ◆ Povrch jako graf funkce:

$$S = \{ (x, y, z) ; z = f(x, y) \in D \subset \mathcal{R} \}$$

- ◆ **Segmentace** ~ rozdělení pixelů hloubkové mapy do shluků, které reprezentují hladné oblasti povrchu ohraničené nespojitými konturami povrchu

Segmentace hloubkových map (2)



Původní obrázek

„Undersegmentation“

„Oversegmentation“

Segmentace hloubkových map (3)

Hranový přístup:

- ◆ Detekce pixlů mapy představujících nespojitosti plochy a jejich klasifikace jako skokové, ostré nebo oblé hrany
- ◆ Detekované pixly hran jsou pak navzájem pospojovány do hran
- ✗ Fragmentace hran, které je pak nutné spojovat pomocí různých heuristik
- ✗ Vyhlazovací operátory pro redukci šumu rozmývají hrany do více pixlů → obtížnější lokalizace hran

Segmentace hloubkových map (4)

Plochový přístup:

- ◆ Odhad křivosti plochy v každém pixlu
- ◆ Klastrování pixlů mapy do hladkých oblastí s homogenní křivostí
- ◆ Techniky narůstání oblastí
- ◆ Techniky klastrování příznakových vektorů

Segmentace hloubkových map (5)

Techniky narůstání oblastí:

- ◆ Každý pixel je klasifikován do jednoho z předem definovaných typů podle své křivosti
- ◆ Počáteční klasifikace představuje základ následného narůstání oblastí
- ✗ Spojování a dělení sousedních oblastí je citlivé na volbu vhodného kritéria
 - Návrh dobrého kritéria založeného na odhadu sensorového šumu a zakřivení plochy je problematický vzhledem ke štěpení a spojování sousedních oblastí

Segmentace hloubkových map (6)

Techniky narůstání oblastí (pokračování):

X Možnost špatné segmentace v případě ostrých nebo oblých hran

→ „undersegmentation“, resp. „oversegmentation“
sousedních ploch:

- **Undersegmentation** (~ podsegmentování)

- splynutí vícero oblastí do jedné

- **Oversegmentation** (~ přesegmentování)

Segmentace hloubkových map (7)

Techniky klastrování příznakových vektorů:

- ◆ Každému pixlu je přiřazen odpovídající příznakový vektor
- ◆ Vektorová kvantizace příznakových vektorů
 - Rozčlenění n –rozměrných příznakových vektorů do m oblastí za současné minimalizace chybové funkce
 - Všechny body každé plochy by přitom měly být aproximovány reprezentativním vektorem \vec{x}_i přiřazeným příslušné ploše
- ✗ Počet oblastí m by měl být znám a-priori
- ✗ Není zaručena prostorová spojitost (ve smyslu obrazových souřadnic)

Segmentace hloubkových map (8)

Volba příznakového vektoru:

- ◆ Homogenita segmentovaných oblastí
- ◆ Vlastnosti příznaků:
 - Obecnost ~ použitelnost v širokém spektru aplikací
 - Úplná charakteristika povrchu
 - Poskytnutí úplného popisu pro zpracování na vyšších úrovních
 - Lokální podpora ~ výpočet příznaků se provádí v lokálním okénku uvažovaného pixlu
 - Stabilita a invariance – změna měřítka apod.
 - Robustnost, snadná detekce, spolehlivost

Segmentace hloubkových map (9)

Volba příznakového vektoru (pokračování):

Homogenní oblasti hloubkových map mohou být ohraničeny třemi typy hran:

◆ Skokové hrany:

- Diskontinuita hloubkových hodnot
 - ~ jeden objekt zakrývá druhý anebo sám sebe
 - informaci o hloubce zahrnout do příznakového vektoru

◆ Ostré hrany:

- Diskontinuita normálových vektorů
 - normálový vektor také zahrnout do příznakového vektoru

Segmentace hloubkových map (10)

Volba příznakového vektoru (pokračování):

- ◆ Oblé hrany:
 - Diskontinuita křivosti plochy
 - křivosti plochy by měly být rovněž zahrnuty do příznakového vektoru
- ◆ Zároveň by měly být do příznakového vektoru zahrnuty i x -ové a y -ové souřadnice
 - zachování prostorové spojitosti oblastí v segmentovaném obraze

Segmentace hloubkových map (11)

Volba příznakového vektoru (pokračování):

→ příznakový vektor klastrovacího algoritmu je zvolen jako δ – rozměrný vektor:

$$\vec{x} = (x, y, z; n_x, n_y, n_z; H; K)$$

(n_x, n_y, n_z) ... jednotkový normálový vektor v bodě (x, y, z) na 3-rozměrné ploše

H a K ... střední a Gaussovská křivost

Předpoklad: $x = u$ $y = v$ $z = f(x, y) = f(u, v)$

Segmentace hloubkových map (12)

Volba příznakového vektoru (pokračování):

\Rightarrow pro $\vec{x}(u, v) = (u, v, f(u, v))$ platí :

$$\vec{x}_u(u, v) = (1, 0, f_u(u, v))$$

$$\vec{x}_v(u, v) = (0, 1, f_v(u, v))$$

$$\vec{x}_{uu}(u, v) = (0, 0, f_{uu}(u, v))$$

$$\vec{x}_{vv}(u, v) = (0, 0, f_{vv}(u, v))$$

$$\vec{x}_{uv}(u, v) = \vec{x}_{vu}(u, v) = (0, 0, f_{uv}(u, v))$$

Segmentace hloubkových map (13)

Volba příznakového vektoru (pokračování):

$$\vec{n}(u, v) = \frac{\vec{x}_u(u, v) \times \vec{x}_v(u, v)}{\|\vec{x}_u(u, v) \times \vec{x}_v(u, v)\|} = \frac{(-f_u, -f_v, 1)}{\sqrt{1 + f_u^2 + f_v^2}}$$

$$\text{kde} \quad : \quad \vec{x}_u(u, v) = \{ [\partial \vec{x}(u, v)] / \partial u \}$$

$$\vec{x}_v(u, v) = \{ [\partial \vec{x}(u, v)] / \partial v \}$$

$$\vec{x}_{uu}(u, v) = \{ [\partial^2 \vec{x}(u, v)] / \partial u^2 \}$$

$$\vec{x}_{uv}(u, v) = \{ [\partial^2 \vec{x}(u, v)] / \partial u \partial v \}$$

$$\vec{x}_{vv}(u, v) = \{ [\partial^2 \vec{x}(u, v)] / \partial v^2 \}$$

Segmentace hloubkových map (14)

Volba příznakového vektoru (pokračování):

a $\vec{n}(u, v)$ je normálový vektor plochy v bodě (u, v)

Dále je třeba určit G a B :

$$G : \quad g_{11} = E = \vec{x}_u \cdot \vec{x}_u = 1 + f_u^2$$

$$g_{12} = g_{21} = F = \vec{x}_u \cdot \vec{x}_v = f_u \cdot f_v$$

$$g_{22} = G = \vec{x}_v \cdot \vec{x}_v = 1 + f_v^2$$

Segmentace hloubkových map (15)

Volba příznakového vektoru (pokračování):

$$B : \quad b_{11} = L = \vec{x}_{uu} \cdot \vec{n} = \frac{f_{uu}}{\sqrt{1 + f_u^2 + f_v^2}}$$

$$b_{12} = b_{21} = M = \vec{x}_{uv} \cdot \vec{n} = \frac{f_{uv}}{\sqrt{1 + f_u^2 + f_v^2}}$$

$$b_{22} = N = \vec{x}_{vv} \cdot \vec{n} = \frac{f_{vv}}{\sqrt{1 + f_u^2 + f_v^2}}$$

→ **střední křivost:** $H = \frac{1}{2} [\text{trace} (G^{-1} B)]$

a **Gaussovská křivost:** $K = \frac{\|B\|}{\|G\|}$

Segmentace hloubkových map (16)

Volba příznakového vektoru (pokračování):

X výpočet normálového vektoru a křivosti pomocí okénkových operátorů

Výpočet normálového vektoru:

- ◆ Jednotkový normálový vektor v bodě $\vec{p}(u, v) = (u, v, f(u, v))$
~ vektorový součin prvních derivací podle u a v :

$$\vec{n}_{\vec{p}} = \frac{\frac{\partial \vec{p}}{\partial u} \times \frac{\partial \vec{p}}{\partial v}}{\left\| \frac{\partial \vec{p}}{\partial u} \times \frac{\partial \vec{p}}{\partial v} \right\|}$$

Segmentace hloubkových map (17)

Výpočet normálového vektoru (pokračování):

- ◆ Odhad prvních derivací pomocí operátorů D_u a D_v :

$$D_u = \vec{d}_0 \cdot \vec{d}_1^T \quad \text{a} \quad D_v = \vec{d}_1 \cdot \vec{d}_0^T$$

$$\text{kde} \quad \vec{d}_0 = \frac{1}{5} [1, 1, 1, 1, 1]^T$$

$$\vec{d}_1 = \frac{1}{5} [-2, -1, 0, 1, 2]^T$$

Segmentace hloubkových map (18)

Výpočet křivosti plochy (pokračování):

- ◆ Odhad křivosti plochy v bodě \vec{p} ve směru pixlu \vec{q} podle:

$$k(\vec{p}, \vec{q}) = \frac{\|\vec{n}_{\vec{p}} - \vec{n}_{\vec{q}}\|}{\|\vec{p} - \vec{q}\|} \times s(\vec{p}, \vec{q})$$

kde $s(\vec{p}, \vec{q}) = 1$, jestliže $\|\vec{p} - \vec{q}\| \leq \|\vec{n}_{\vec{p}} - \vec{n}_{\vec{q}}\|$

$s(\vec{p}, \vec{q}) = -1$, jinak

$\vec{n}_{\vec{p}}$ a $\vec{n}_{\vec{q}}$... jednotkové normálové vektory v bodě \vec{p} resp. \vec{q}

$s(\vec{p}, \vec{q})$... určuje konvexnost / konkávnost

Segmentace hloubkových map (19)

Výpočet křivostí plochy (pokračování):

→ Výpočet střední a Gaussovské křivosti pomocí $k(\vec{p}, \vec{q})$

→ necht' $\Omega(\vec{p})$ je množina pixlů v okolí pixlu \vec{p} :

→ střední křivost:
$$H = \frac{(k^{\min}(\vec{p}) + k^{\max}(\vec{p}))}{2}$$

→ Gaussovská křivost:
$$K = (k^{\min}(\vec{p}) \times k^{\max}(\vec{p}))$$

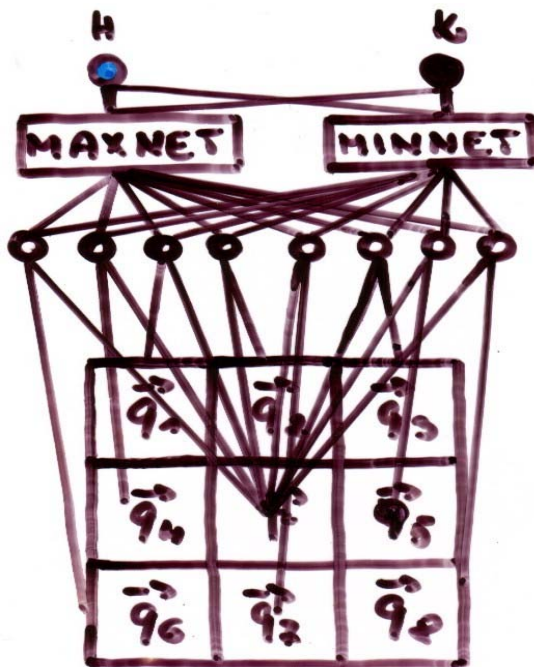
kde
$$k^{\min}(\vec{p}) = k(\vec{p}, \vec{q}_0) = \min_{q \in \Omega(\vec{p})} k(\vec{p}, \vec{q})$$

$$k^{\max}(\vec{p}) = k(\vec{p}, \vec{q}_1) = \max_{q \in \Omega(\vec{p})} k(\vec{p}, \vec{q})$$

Segmentace hloubkových map (20)

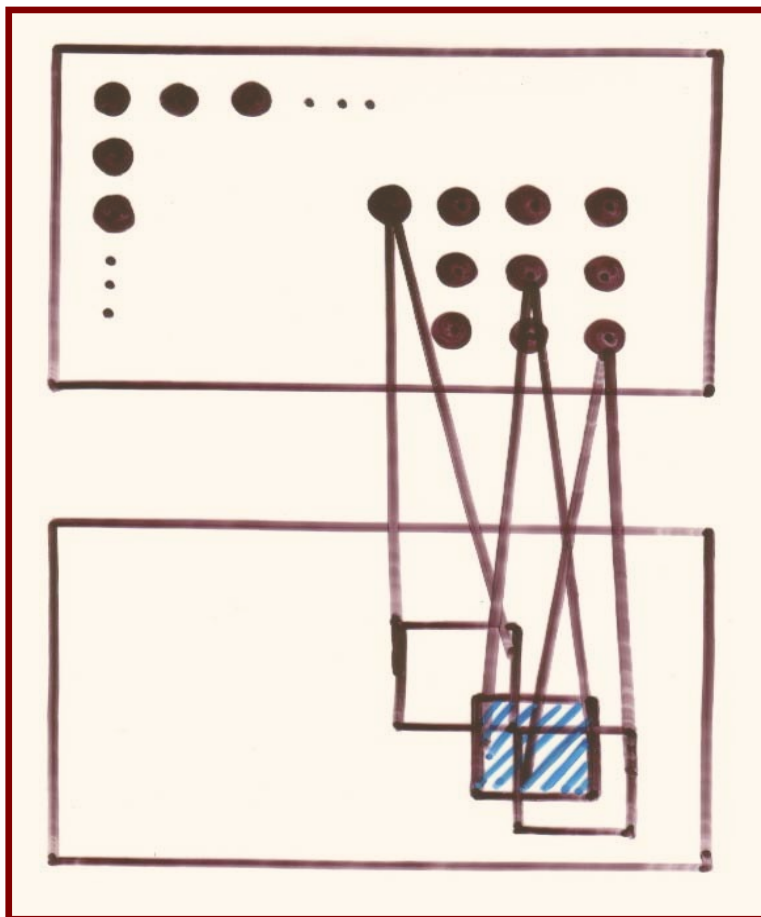
Výpočet křivosti plochy (pokračování):

- ◆ Realizace výpočtu pomocí neuronové sítě



- neuron pro násobení
- Neuron pro průměrování
- Neuron pro výpočet $k(\vec{p}, \vec{q}_i)$

Segmentace hloubkových map (21)



Využití neuronové
sítě pomocí
navzájem se
překrývajících
receptorových polí

Segmentace hloubkových map (22)

Využití Kohonenových map k vektorové kvantizaci příznakových vektorů

$$\vec{x} = (x, y, z; n_x, n_y, n_z; H; K)$$

- Necht' R_1, R_2, \dots, R_M označuje M oblastí po segmentaci
- Kohonenova mapa „se musí naučit“ zobrazení $\vec{x}(x, y) \mapsto R_i$, které by minimalizovalo předem dané kritérium
- Váhové vektory: $\vec{w} = (w_x, w_y, w_z, w_{n_x}, w_{n_y}, w_{n_z}, w_H, w_K)$
- **Problém:** počet neuronů

Segmentace hloubkových map (23)

Samoorganizující se příznakové mapy

- ◆ Kompetiční učení
- ◆ Vektorová kvantizace

Váhové vektory charakterizují jednotlivé shluky vstupních vektorů

→ středy shluků by měly odpovídat hustotě pravděpodobnosti vstupních dat

V ideálním případě by měl být po skončení učení každý neuron kompetiční vrstvy citlivý na jedinou oblast

Segmentace hloubkových map (24)

Samoorganizující se příznakové mapy (pokračování):

Váhový vektor $\vec{w}_j = (w_x, w_y, w_z, w_{nx}, w_{ny}, w_{nz}, w_H, w_K)$ reprezentuje příslušnou oblast

- ♦ (w_x, w_y, w_z) ... souřadnice centra oblasti ve 3-rozměrném prostoru
- ♦ (w_{xx}, w_{ny}, w_{nz}) ... reprezentativní normálový vektor oblasti
- ♦ w_H, w_K ... reprezentativní střední a Gaussovská křivost
(~ nabývají zhruba průměrných hodnot křivosti jednotlivých pixlů v dané oblasti)

Segmentace hloubkových map (25)

Samoorganizující se příznakové mapy (pokračování):

- ◆ Počet neuronů by měl odpovídat počtu požadovaných oblastí v segmentovaném obrázku!
- x Velká závislost na aktuálním obsahu scény, který není apriori znám

Struktura (první) kompetiční vrstvy vícevrstvé Kohonenovy mapy

- ◆ $X_1 = \{ \vec{x}_i ; i = 1, 2, \dots, N_f^2 \} \dots$ vstupní prostor pro 1. vrstvu
- ◆ $W_1 = \{ \vec{w}_j = (w_x, w_y, w_z, w_{nx}, w_{ny}, w_{nz}, w_H, w_K) ; j = 1, \dots, N^2 \}$

po skončení učení obsahuje reprezentativní vektory odpovídající první úrovni abstrakce vstupních vektorů

Segmentace hloubkových map (26)

Struktura (první) kompetiční vrstvy vícevrstvé Kohonenovy mapy

- ◆ $O_1 \subseteq W_1$... množina váhových vektorů odpovídajících vítězným neuronům
 - Tvoří množinu vstupních vektorů pro druhou vrstvu ($X_2 = O_1$)
 - Ostatní neurony se adaptují tak, aby interpolovaly hodnoty vítězných neuronů

- ◆ Vážená euklidovská metrika:

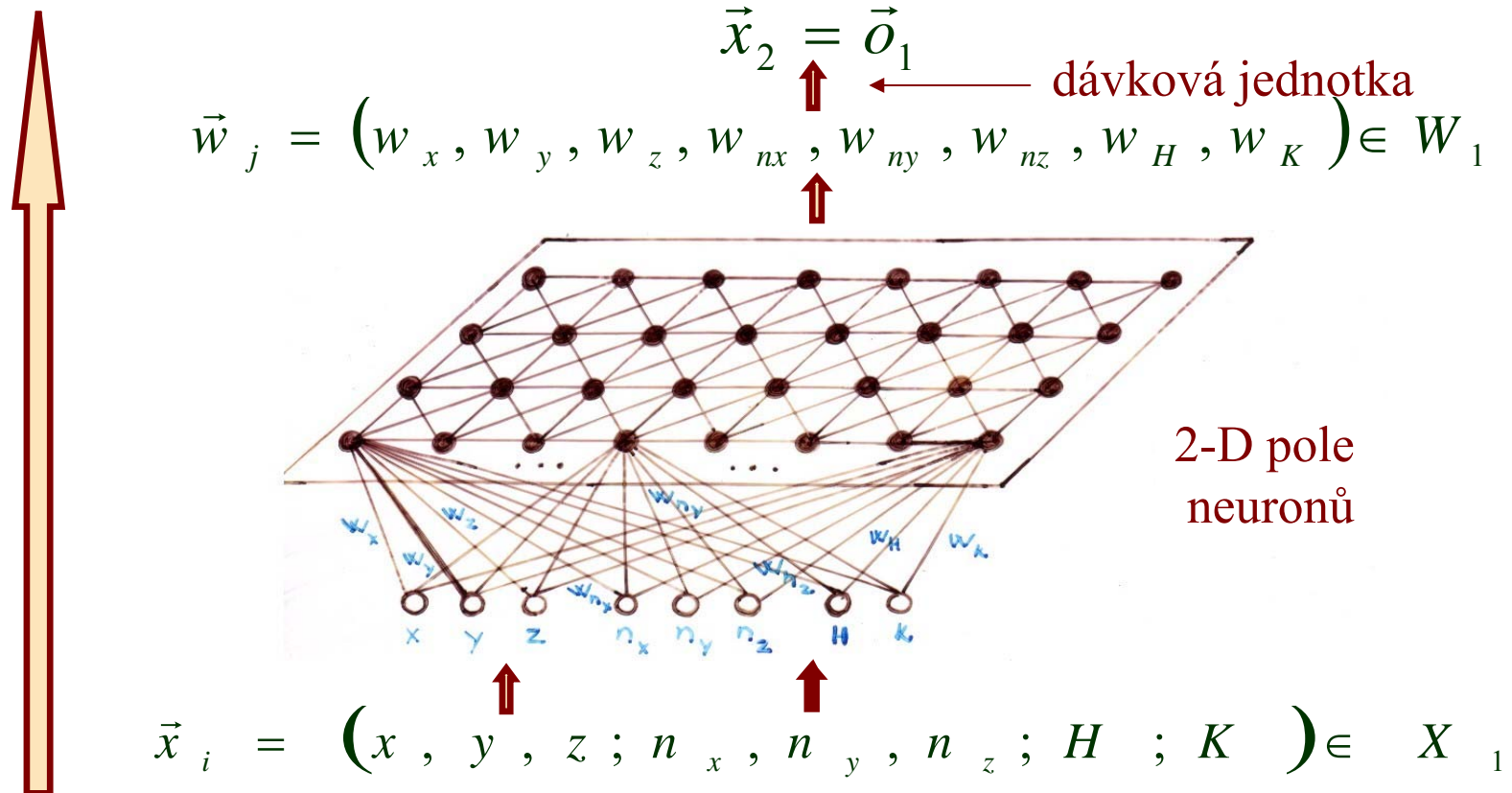
$$d(\vec{x}_i, \vec{w}_j) = a \cdot \|\vec{x}_p - \vec{w}_p\| + b \cdot \|\vec{x}_n - \vec{w}_n\| + c \cdot |H - w_H| + d \cdot |K - w_K|$$

$$\text{kde } 0 \leq a, b, c, d \leq 1 \quad \text{a} \quad \vec{x}_i = (\vec{x}_p; \vec{x}_n; H; K) \quad ; \quad \vec{x}_p = (x, y, z)$$

$$\vec{x}_n = (n_x, n_y, n_z) \quad \text{a analogicky pro } \vec{w}_j$$

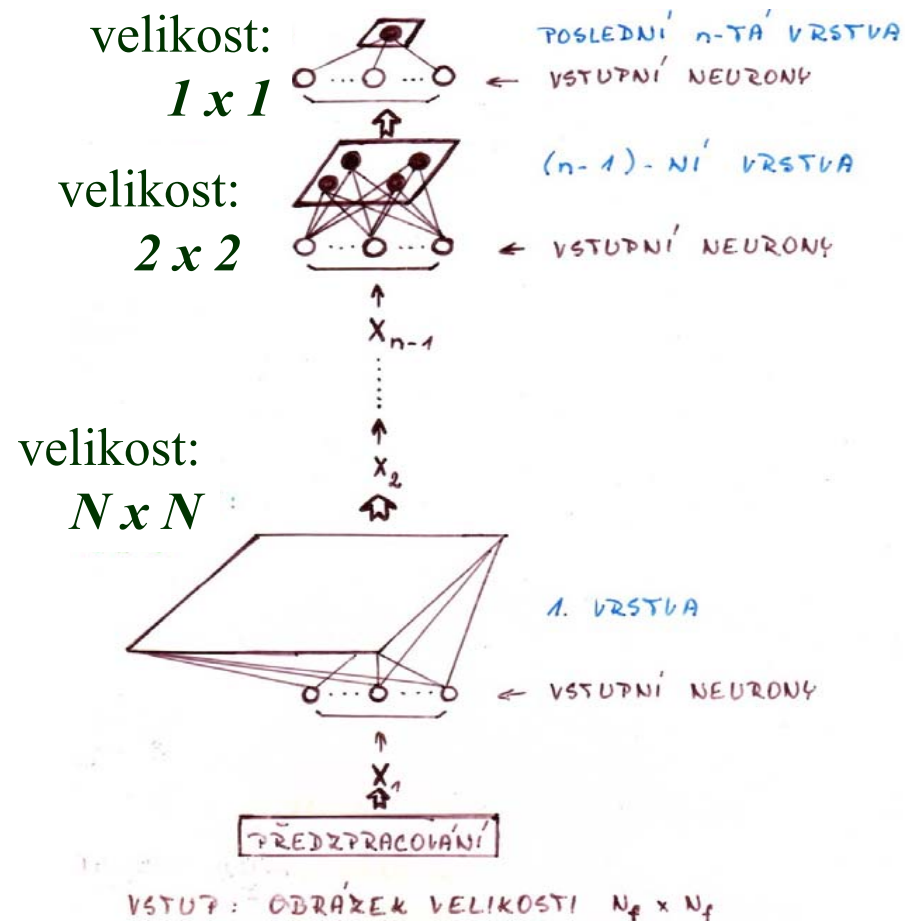
Segmentace hloubkových map (27)

Struktura (první) kompetiční vrstvy vícevrstvé Kohonenovy mapy



Segmentace hloubkových map (27)

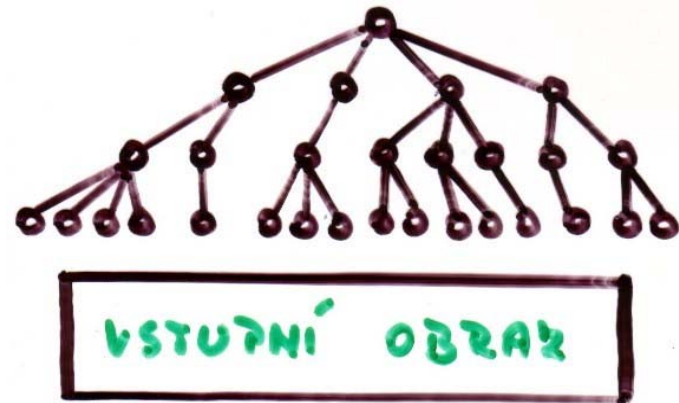
- ◆ Vícevrstvé samoorganizující se příznakové mapy: (~ multi-layer self-organizing feature maps)
- ◆ Kontrola počtu segmentovaných oblastí, resp. neuronů



Segmentace hloubkových map (28)

**Kontrola počtu
segmentovaných
oblastí**

1 oblast
4 oblasti
8 oblastí
16 oblastí



**Abstrakční
strom**

Uzavřený uzel: ●
Segmentované oblasti:
 $\{R_1, R_2, \dots, R_7\}$

4. úroveň
3. úroveň
2. úroveň
1. úroveň

